

## 2N2905

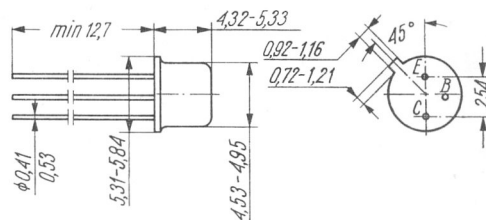
**Typ tranzystora:** tranzystor krzemowy

**Firma:** SESCOSEM

**Wykonanie:** tranzystor krzemowy epitaksjalno-planarny *p-n-p* w obudowie metalowej TO-39, kolektor połączony z obudową

**Zastosowanie:** wzmacniacze m.cz. i w.cz., układy przełączające dla średnich prądów, komplementarny do tranzystora 2N2219 (2N2219A)

**Typy podobne:** BFX38, BFY64, BCW80—16 (Sie)



Rys. 1-1187. 2N2905

### Wartości charakterystyczne<sup>1)</sup>

	min	max		
$I_{CBO}$		-20	nA	przy $I_E = 0$ , $U_{CB} = -50$ V
$I_{CBO}$ (2N2905A)		-10	nA	
$I_{CBO}$		-20	$\mu$ A	
$I_{CBO}$ (2N2905A)		-10	$\mu$ A	przy $I_E = 0$ , $U_{CB} = -50$ V, $t_{amb} = 150^\circ\text{C}$
$I_{CEX}$		-50	nA	przy $U_{BE} = 0,5$ V, $U_{CE} = -30$ V
$U_{(BR)CBO}$	-60		V	przy $I_E = 0$ , $I_C = -10$ $\mu$ A
$U_{(BR)CE0}^{1)}$	-40		V	
$U_{(BR)CE0}^{1)}$ (2N2905A)	-60		V	przy $I_B = 0$ , $I_C = -10$ mA
$U_{(BR)EBO}$	-5		V	przy $I_C = 0$ , $I_E = -10$ $\mu$ A
$h_{21E}$	35			przy $I_C = -0,1$ mA, $U_{CE} = -10$ V
$h_{21E}$	50			przy $I_C = -1$ mA, $U_{CE} = -10$ V
$h_{21E}$	75			przy $I_C = -10$ mA, $U_{CE} = -10$ V
$h_{21E}^{2)}$	100	300		przy $I_C = -150$ mA, $U_{CE} = -10$ V
$h_{21E}^{2)}$	30			przy $I_C = -500$ mA, $U_{CE} = -10$ V
$U_{CEsat}^{2)}$		-0,4	V	przy $I_C = -150$ mA, $I_B = -15$ mA
$U_{CEsat}^{2)}$		-1,6	V	przy $I_C = -500$ mA, $I_B = -50$ mA
$U_{BEsat}^{2)}$		-1,3	V	przy $I_C = -150$ mA, $I_B = -15$ mA
$U_{BEsat}^{2)}$		-2,6	V	przy $I_C = -500$ mA, $I_B = -50$ mA
$f_T$	200		MHz	przy $I_C = -50$ mA, $U_{CE} = -20$ V, $f = 100$ MHz
$C_{22b}$		8	pF	przy $U_{CB} = -10$ V, $U_E = 0$ , $f = 100$ kHz
$C_{11b}$		30	pF	przy $U_{EB} = -2$ V, $I_C = 0$ , $f = 100$ kHz
$t_{ON}$		45	ns	przy $I_C \approx -150$ mA, $I_B \approx -15$ mA
$t_{OFF}$		200	ns	przy $I_C \approx -150$ mA, $I_{B1} \approx -15$ mA, $I_{B2} \approx +15$ mA

<sup>1)</sup>  $t_{amb} = 25^\circ\text{C}$

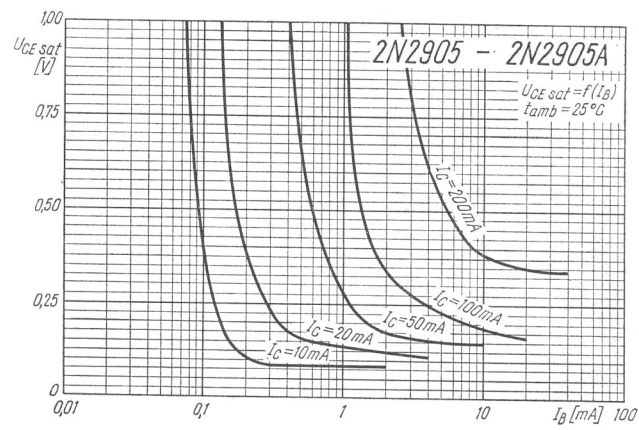
<sup>2)</sup> pomiar impulsem  $t_p = 300$   $\mu$ s,  $\delta \leq 2\%$

Wartości graniczne<sup>1)</sup>

$U_{CB0} \text{ max}$	-60	V	$P_{tot} \text{ max}$	0,6 <sup>1)</sup>	W
$U_{CE0} \text{ max}$	-40	V	$P_{tot} \text{ max}$	3 <sup>3)</sup>	W
$U_{CE0} \text{ max (2N2905)}$	-60	V	$t_j \text{ max}$	200	°C
$U_{EB0} \text{ max}$	-5	V	$t_{stg}$	-65 ÷ +200	°C
$I_C \text{ max}$	-0,6	A			

<sup>1)</sup>  $t_{amb} = 25^\circ\text{C}$

<sup>3)</sup>  $t_{case} = 25^\circ\text{C}$



Rys. 1-1188. Zależność napięcia nasycenia kolektora od prądu bazy